

- 5 Sellins Y S and Cohen J J. Hyperthermia induces apoptosis in thymocytes. *J Immunol*, 1987; **139**: 3199
- 6 Ohyama H and Yamada T. Reduction of rat thymocyte interphase death by hyperthermia. *Radiat Res*, 1980; **82**: 342
- 7 Phillips H J and Terryberry J E. Counting actively metabolizing tissue cultured cell. *Exp Cell Res*, 1957; **13**: 341
- 8 Ohyama H, Yamada T, Ohkawa A et al. Radiation-induced formation of apoptotic bodies in rat thymus. *Radiat Res*, 1985; **101**: 123
- 9 Schwartzman R A and Cidlowski J A. Internucleosomal deoxyribonucleic acid cleavage activity in apoptotic thymocytes; Detection and endocrine regulation. *Endocrinology*, 1991; **128**: 1190
- 10 Wyllie A H, Morris R G, Dunlop D. Chromatin cleavage in apoptosis; Association with condensed chromatin morphology and dependence on macromolecular synthesis. *J Pathol*, 1984; **142**: 67

放射受体法测定表皮生长因子

贺师鹏 黄天贵 黄力新

(北京医科大学生物物理教研室, 北京 100083)

郭淑英

(北京医科大学生理教研室, 北京 100083)

提 要

介绍用大鼠肝细胞膜为材料 EGF 放射受体分析方法。 ^{125}I -EGF 采用 Iodogen 方法, 其标记率为 50% 左右, ^{125}I -EGF 对受体的结合率为 20—30%。大鼠肝细胞膜 EGF 放射受体法的灵敏度为 28pg/管, 精密度为 6.3%。应用此法测定了大鼠血清, 领下腺和唾液中的 EGF 的含量。

关键词 EGF, 放射受体分析, Iodogen

表皮生长因子(EGF)是分子量为 6405 的小分子多肽, 它能刺激许多类细胞的增殖, 而且能影响细胞分化, 促进细胞内外离子交换, 增加氨基酸和葡萄糖运转, 加速蛋白质和 DNA 合成。因此, EGF 具有广泛的生物学作用。它在肿瘤生物学和胚胎发育等领域的研究中具有突出的地位。

在从事 EGF 的生物学研究中, 需要建立灵敏度高、特异性强、操作简便的测定体液和组织内 EGF 含量的方法。Cohen 等人^[1]首先建立了 EGF 的放射免疫分析, 其标准曲线的范围为 0.03—4ng。稍后 Carpenter 等人^[2]建立了以纤维母细胞为材料的 EGF 放射受体分析, 其标准曲线的工作范围为 1—100ng/ml, 灵敏度较低。我们以大鼠肝细胞膜为材料建立了 EGF 放射受体分析。标准曲线的工作范围为 0.03—3ng,

灵敏度为 28pg/管, 达到放免分析相同的灵敏度, 方法的稳定性良好。利用它测定了各种组织中的 EGF 含量, 得到相当满意的结果。

1 材料和方法

1. 1 材料

表皮生长因子: EGF 标准品购自美国 Sigma Chemical Co. Na ^{125}I : 购自中国科学院原子能研究所。Tris-HCl 缓冲液: 50mmol/L Tris-HCl pH7.4 + 1mmol/L EDTA + 1mmol/L EGTA. Beckman5500γ 计数器。

1. 2 方法

1. 2. 1 ^{125}I -EGF 制备 1mg Iodogen 溶于 1ml 二氯甲烷, 每反应瓶取 20μg, 室温真空

减压抽干，密封—20℃保存。临用前，于反应瓶中加0.2ml 0.2mol/L pH7.4 磷酸盐缓冲液(PB)洗2次，洗去未贴壁的Iodogen，在反应瓶中加200μl含有2μg EGF和1mCi Na¹²⁵I的0.2mol/L pH7.4的磷酸盐缓冲液，轻轻摇动反应1.5min，待反应完毕，取出反应混合物经Sephadex G-25柱层析(1×20cm)，0.05 mol/L pH7.4PB洗脱，收集¹²⁵I-EGF。

1.2.2 大鼠肝细胞制备 膜制备参照文献[3]，稍加修改，具体方法如下：体重200g左右的大鼠断头放血，立即取肝脏，以后操作均在0—4℃进行，去除结缔组织并剪碎，每克肝组织加15ml 50mmol/L pH7.4 Tris-HCl缓冲液(内含1mmol/L EDTA, EGTA, 0.25mol/L蔗糖)先用高速分散器匀浆3次，每次1min，后改用玻璃匀浆器匀浆，匀浆液800g离心15min，上清再经3000g离心30min弃去沉淀，上清再经20000g离心60min，沉淀改用50mmol/L pH7.4 Tris-HCl缓冲液(内含1mmol/L EDTA, 1mmol/L EGTA)溶解，混悬液再经20000g离心60min，取沉淀，最后，肝细胞膜以上述相同的缓冲液配成2ml/g肝组织制剂，分装后，—20℃保存，膜蛋白含量用染料法测定。

1.2.3 测定方法 在50mmol/L pH7.4 Tris-HCl缓冲体系内(内含1mmol/L EDTA, 1mmol/L EGTA, 1%BSA)加入约50μg肝膜蛋白和0.03—4ng的EGF，后加入50000cpm¹²⁵I-EGF，25℃保温60min。总反应体积为0.4ml，非特异结合管在上述相同的条件下加入约200ng EGF，玻璃纤维滤膜用50mmol/L pH7.4PBS 10ml洗尽游离的¹²⁵I-EGF(表1)。

表1 肝细胞膜测定EGF加样顺序 加样量/ml

加样顺序	总结合管	标准管	样品管	非特异管 ¹⁾
缓冲液	0.25	0.15	0.15	0.15
¹²⁵ I-EGF	0.05	0.05	0.05	0.05
肝膜	0.10	0.10	0.10	0.10
标准	/	0.10	/	0.10
样品	/	/	0.10	

注：25℃保温60min，滤膜过滤，10ml PBS洗，放射性测

量¹⁾含EGF 200ng

1.2.4 组织样品提取 如颌下腺组织，大鼠处死后，摘下颌下腺称重切碎，加10倍体积提取液(50mmol/L Tris-HCl, pH7.4, 1mmol/L EDTA, 1mmol/L EGTA)，在PS-10型高速分散器中将组织捣碎，移至玻璃匀浆器继续匀浆，匀浆液在20000g 4℃离心20min，取上清液，分装—20℃保存。

2 结 果

2.1 利用Iodogen法制备¹²⁵I-EGF 其标记率一般均在50%左右，与肝膜EGF受体的结合率约为20%—30%，质量优于氯胺-T法。用放射受体自我替代法测其放射性比度在122—200μCi/μg之间。

2.2 大鼠肝细胞膜EGF受体的特征 用Scatchard作图法测得的肝细胞膜EGF受体的亲和常数K_d值为45.3nmol/L，最大结合容量R_t=9.28nmol/L，是属高亲合率低结合容量的受体(见图1)。

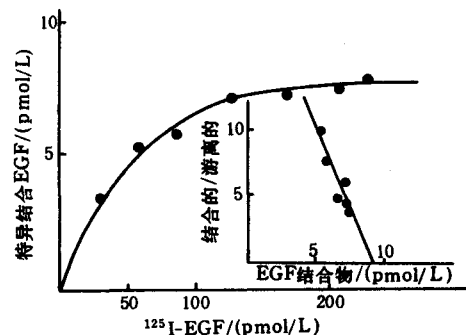


图1 大鼠肝细胞膜EGF受体的Scatchard图

2.3 反应时间对结合反应的影响 将70000cpm约0.098ng¹²⁵I-EGF和50μg肝细胞膜蛋白在Tris-HCl缓冲液(50mmol/L, pH7.4)中25℃保温，分别于不同保温时间测其结合物的放射性，以保温时间为横轴，结合物放射性为纵轴作图。由图2可知反应开始，结合物随时间直线上升，40min几乎达到最大值，40min至120min之间不变。

2.4 灵敏度、精密度、特异性

灵敏度：以零标准管实测值的95%可信限

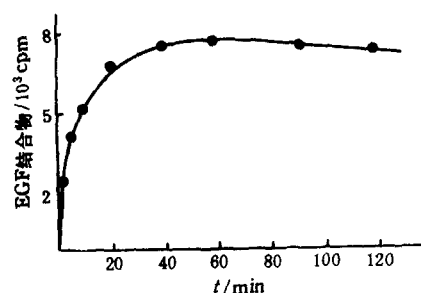


图2 保温时间对EGF结合率的影响

计为 28 pg/管。

精密度：批内 CV 值为 6.3%，批间 CV 值为 9.9%。

特异性：高出样品 10 000 倍的胰岛素或胰高血糖素仍不发生交叉反应。

2.5 膜受体储存对标准曲线的影响

大鼠肝细胞膜制剂 -20℃ 分装保存，在最初 5d，每隔 1d 做一根标准曲线，共做 3 条。标准曲线每个剂量取代比的误差最大为 $\pm 4.8\%$ ，最小为 $\pm 1.6\%$ ，平均为 2.7%。由此结果可知，膜受体在 5d 内是稳定的，对标准曲线没有影响。

表2 肝膜受体在5d内对标准曲线的影响

剂量/ng	0.06	0.10	0.20	0.40	0.80	1.60	3.00
(B/B ₀) /%	92.7	83.5	73.9	63.0	46.9	31.1	19.1
SD	± 2.6	± 3.0	± 1.6	± 4.8	± 2.2	± 2.4	± 2.3

表3 样品的测定

样品	EGF 浓度
5 周岁儿童唾液：	ng/ml
男童	3.44 \pm 1.52
女童	7.02 \pm 2.68
大鼠血清：	ng/ml
·未孕鼠	0.953 \pm 0.43
孕鼠 11d	1.730 \pm 0.51
大鼠颌下腺：	ng/mg (湿重)
未孕鼠	44.60 \pm 20.4
孕鼠 11d	179.4 \pm 40.0

3 讨 论

3.1 放射受体分析要求标记配基保持良好的活性。氯胺-T 标记法一般只有 10% 的结合率^[4]，结合率不高，究其原因可能在标记过程受氧化-还原作用使 EGF 分子中二硫键破坏而失掉了活性。**Iodogen** 法是 70 年代中期才发展

起来的温和的固相碘化试剂，我们改用 Iodogen 法标记 EGF 所得的 ¹²⁵I-EGF 与受体的结合率可达 20%—30% 左右，明显优于氯胺-T 法。这对放射受体分析尤为有利。

3.2 大鼠肝细胞膜 EGF 受体 K_d 值为 45.3 nmol/L，其最大结合容量为 9.28 nmol/L，是属于高亲和力低结合容量的受体。我们利用它建立的 EGF 放射受体分析法，其灵敏度为 28 pg/管，稳定性和特异性都很好，能适用于血清和其它液体中 EGF 含量的测定。

3.3 放射受体分析是基于生物活性测定配基的含量，比较真实地反映组织内该活性物质的含量。而放射免疫分析基于免疫活性测定配基的含量。因此，两者测定结果有时会出现不一致^[5]。有人曾报导^[6]EGF 放射受体分析的结果高于放射免疫分析，这是因为抗体可能只对 EGF 特异性结合无关的部分相结合，而在体液和组织中存在着各种 EGF 样 (EGF-like) 的分子，它们不能与抗体起免疫反应，却能与 EGF 受体相结合。因此，放射免疫分析的结果就可能低估了 EGF 水平。另外，用抗鼠的 EGF 抗体测定人的 EGF 分子时，该抗体对人的 EGF 不敏感，而鼠的 EGF 受体对人的所有组织和体液中的 EGF 具有较高的检出率^[1]。因此，EGF 放射受体分析具有一定的重要地位，不可能为放射免疫分析法完全取代。

参 考 文 献

- Byyny R L, Orth D N, Cohen S. Radioimmunoassay of epidermal growth factor. *Endocrinology*, 1972; **90**: 1261
- Carpenter G, Lembach K J, Cohen S et al. Characterization of binding of ¹²⁵I-labeled epidermal growth factor to human fibroblasts. *J Biol Chem*, 1975; **250**: 4297
- Mukku V R, Stancel G M. Receptor for epidermal growth factor in the rat uterus. *Endocrinology*, 1985; **117**: 149
- Carpenter G. Binding assay for epidermal growth factor In: Birnbaumer L et al. ed, *Methods in Enzymology*, Orlando: Academic press, 1985, Vol **109**: 101.
- Ladda R L, Bullock L P, Gianopoulos T et al. Radioreceptor assay for epidermal growth factor. *Analy Biochem*, 1979; **93**: 286
- Starkey R H, Orth D N. Radioimmunoassay of human Epidermal growth factor (Urogastrone). *J Clin Endocrinol Metabol*, 1977; **45**: 1144